

# СВОЙСТВА ПЛЕНОК $(\text{No, Bi})_3(\text{Fe, Ga})_5\text{O}_{12}$

## ВБЛИЗИ ТОЧКИ КОМПЕНСАЦИИ МОМЕНТА ИМПУЛЬСА

A. A. Айрапетов, M. B. Логунов, B. B. Рандошкин,  
B. I. Чани, E. Э. Шушерова

Высокое быстродействие различных магнитооптических устройств можно обеспечить, используя в них висмутсодержащие монокристаллические пленки феррит-гранатов ( $\text{Bc}-\text{МПФГ}$ ) с компенсацией момента импульса (КМИ) [1–4]. Если управляющие токовые проводники в устройствах выполнять из высокотемпературных сверхпроводников, то наибольшее быстродействие можно получить, реализуя механизм вращения намагниченности [5]. Вращение намагниченности начинается, если действующее магнитное поле превышает эффективное поле одноосной магнитной анизотропии [1, 6]; при этом скорость вращения пропорциональна гиромагнитному отношению  $\gamma$  и намагниченности насыщения  $4\pi M_s$ . В настоящее время разработаны  $\text{Bc}-\text{МПФГ}$  с КМИ, в которых быстро-релаксирующим ионом является  $\text{Tm}^{3+}$  [7, 8],  $\text{Er}^{3+}$  [9] или  $\text{Eu}^{3+}$  [10, 11]. К сожалению, магнитный момент указанных ионов невелик, что не позволяет получить в  $\text{Bc}-\text{МПФГ}$  с КМИ высокую  $4\pi M_s$ .

В данной работе сообщается о получении нового материала с КМИ, при повышенных намагниченности насыщения и затухания —  $\text{Bc}-\text{МПФГ}$  состава  $(\text{No, Bi})_3(\text{Fe, Ga})_5\text{O}_{12}$ . Пленки выращивали методом жидкофазной эпитаксии из переохлажденного раствора — расплава на основе  $\text{PbO}-\text{Bi}_2\text{O}_3-\text{B}_2\text{O}_3$  на подложках из самарий-галлиевого граната (СГГ) с ориентацией (111). В работе приводятся данные для образца с параметрами: толщина пленки  $h = 8.8$  мкм, равновесный период полосовых доменов  $P_0 = 5.72$  мкм, поле коллапса цилиндрических магнитных доменов (ЦМД)  $H_0 = 207$  Э, поле одноосной магнитной анизотропии  $H_\kappa = 900$  Э, температура Нееля  $T_N = 81^\circ\text{C}$ , начальная подвижность доменных стенок (ДС)  $\mu = 60$  см/(с·Э). Расчет с помощью теории полосовых доменов и ЦМД (без учета относительной малости фактора качества материала  $Q$ ) дает значения  $l = 0.15$  мкм,  $4\pi M_s = 271$  Гс и  $Q = 3.3$ , где  $l$  — характеристическая длина материала. Необходимость использования в качестве подложек СГГ, а не ( $\text{Gd, Ca})_3(\text{Mg, Zr, Ga})_5\text{O}_{12}$  (ГКМЦГГ), как ранее [12], обусловлена тем, что при высоком уровне замещения железа галлием, необходимом для обеспечения КМИ, не удалось получить достаточно качественные пленки из-за высокого содержания  $\text{Bi}$ .

Динамику ДС исследовали методом высокоскоростной фотографии, так же как и в [9, 13]. В исходном состоянии образец намагничивали до насыщения полем смещения  $H_{\text{см}}$ , а импульсное магнитное поле  $H_i$  прикладывали в противоположном направлении. Измеряли скорость  $v$  перемещения границы области, занятой массивом полосовых доменов, поскольку достаточно быстро после зарождения домена с обратной намагниченностью он испытывает магнитостатическую нестабильность, что приводит к «прорастанию» полосовых доменов из «тела» зародившегося и расширяющегося ЦМД и их последующему «ветвлению» [14, 15]. Заметим, что в отличие от [13] эта область имеет круговую форму, хотя одноосная магнитная анизотропия в пленках с повышенным  $\gamma$  невысока. Этот факт можно объяснить, предположив, что в исследованном интервале полей  $H_i$  критическая скорость срыва стационарного движения ДС не достигается.

Зависимость скорости  $v$  от амплитуды  $H_i$  показана на рис. 1. При  $H_i \geq 360$  Э плотность центров зародышебразования становится слишком высокой, что препятствует точному измерению  $v$ . Видно, что зависимость  $v(H_i)$  является

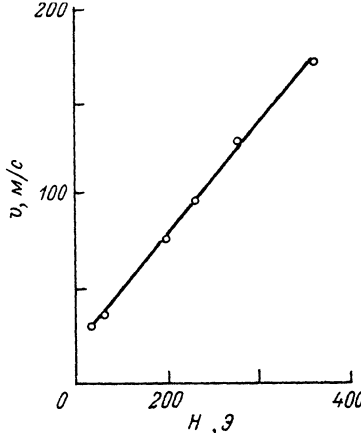


Рис. 1. Зависимость скорости  $v$  от амплитуды импульса магнитного поля  $H_a$  при комнатной температуре.  $H_{\text{см}} = 215$  Э.

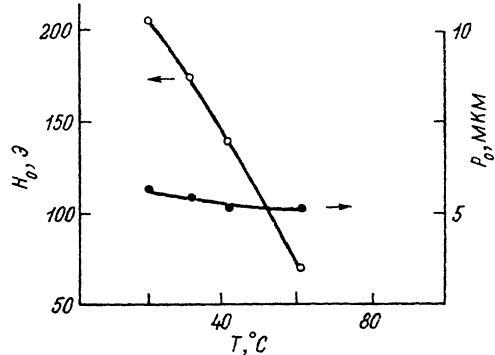


Рис. 2. Температурные зависимости равновесного периода полевой доменной структуры  $P_0$  и поля коллапса ЦМД  $H_0$ .

линейной и характеризуется подвижностью ДС  $\mu = 60$  см/(с·Э). Это значение выше, чем для пленок того же состава, но с меньшим уровнем замещения железа, меньшей  $H_k$  и большей  $4\pi M_s$ , для которых  $\mu = 39$  см/(с·Э) [13]. Исходя из выражения для начальной подвижности ДС

$$\mu = \Lambda^{-1} M_s (A/K_a)^{1/2},$$

где  $\Lambda$  — приведенный параметр затухания Ландау—Лифшица, зависящий только от типа и концентрации быстрорелаксирующего редкоземельного иона ( $\text{Ho}^{3+}$  в данном случае),  $A$  — константа обменного взаимодействия,  $K_a$  — константа одноосновной магнитной анизотропии, такое различие нельзя объяснить даже с учетом снижения  $\Lambda$  примерно в 1.4 раза при замене СГГ на ГКМЦГГ, поскольку  $4\pi M_s$  возрастает более чем в 2 раза, а  $A/K_a$  практически не меняется. Основное различие этих двух типов пленок заключается в величине  $\gamma = (g/2)\gamma_0$ ,  $g$  — фактор Ланде,  $\gamma_0$  — гиromагнитное отношение ионов  $\text{Fe}^{3+}$ . В [12] методом ферромагнитного резонанса (ФМР) для ранее исследованных пленок получено значение  $g = 1.58$ . В данной работе сигнал ФМР зарегистрировать не удалось, что является основным аргументом в пользу близости точки КМИ, так как вблизи нее имеет место уширение, пропорциональное  $\gamma$ , и без того широкой линии ФМР для Ho-содержащих Вс-МПФГ, а также выход резонансных полей за пределы развертки ФМР-спектрометра. По-видимому, как и в Тм-содержащих Вс-МПФГ [1-3], здесь также имеет место эффект повышения начальной подвижности ДС по мере приближения к точке КМИ (рис. 2).

Поскольку во всем исследованном интервале полей зависимость  $v(H_a)$  остается линейной, то нельзя оценить значение  $\gamma$  и по форме кривой  $v(H_a)$ , как в [8]. Тем не менее совокупность приведенных фактов позволяет заключить, что полученные Вс-МПФГ состава  $(\text{Ho}, \text{Bi})_3(\text{Fe}, \text{Ga})_5\text{O}_{12}$  обладают повышенным гиromагнитным отношением. С учетом их повышенного значения  $4\pi M_s$  (в 2–5 раз) можно рассматривать этот новый материал как перспективный для магнитооптических устройств, в которых реализуется механизм вращения намагниченности.

В заключение авторы выражают свою искреннюю благодарность А. Я. Червененкусу за полезные дискуссии и М. А. Иванову за выращивание монокристаллов СГГ.

## Список литературы

- [1] Рандошкин В. В., Червоненкис А. Я. Прикладная магнитооптика. М.: Энергоатомиздат, 1990. 320 с.
- [2] Рандошкин В. В., Сигачев В. Б. // Препринт ИОФАН СССР. 1989. № 50. 39 с.
- [3] Randoshkin V. V. // Proc. SPIE. 1989. V. 1126. P. 103—110.
- [4] Randoshkin V. V. // Proc. SPIE. 1990. V. 1307. P. 116—122.
- [5] Randoshkin V. V. // Int. Symp. on Magneto—Optics, Abstracts. Kharkov, 1991. P. 29.
- [6] Логунов М. В., Рандошкин В. В. // 1988. Т. 30. № 2. С. 378—381.
- [7] Заболотная Н. В., Осико В. В., Сигачев В. Б., Рандошкин В. В., Тимошечкин М. И. // Письма в ЖТФ. 1984. Т. 10. № 13. С. 788—792.
- [8] Рандошкин В. В., Сигачев В. Б. // Письма в ЖЭТФ. 1985. Т. 42. № 41. С. 34—37.
- [9] Рандошкин В. В., Сигачев В. Б. // ФТГ. 1987. Т. 29. № 9. С. 2658—2665.
- [10] Зоря В. И., Зуева И. Ю., Рандошкин В. В., Сигачев В. Б., Тимошечкин М. И. // ЖТФ. 1985. Т. 55. № 7. С. 1381—1383.
- [11] Рандошкин В. В., Сигачев В. Б. // ЖТФ. 1988. Т. 58. № 12. С. 2350—2354.
- [12] Рандошкин В. В., Тимошечкин М. И., Чани В. И. // Письма в ЖТФ. 1990. Т. 16. № 15. С. 29—31.
- [13] Логунов М. В., Рандошкин В. В. // ФТГ. 1991. Т. 33. № 3. С. 955—957.
- [14] Рандошкин В. В., Иванов Л. П., Телесчин Р. В. // ЖЭТФ. 1978. Т. 75. № 3. С. 960—975.
- [15] Иванов Л. П., Логгинов А. С., Непокойчицкий Г. А., Рандошкин В. В. // ФММ. 1981. Т. 51. № 6. С. 1200—1208.

Институт общей физики РАН  
Москва

Поступило в Редакцию  
21 ноября 1991 г.